

γυναικολογικός καρκίνος & ακτινοθεραπεία

Ιωάννης Γεωργακόπουλος
Ακτινοθεραπευτής Ογκολόγος

δήλωση συμφερόντων

- δηλώνω ότι δεν έχω (προσωπικά ή ως μέλος εργασιακής/ερευνητικής ομάδας) ή μέλος της οικογένειάς μου οποιοδήποτε οικονομικό ή άλλου είδους όφελος από τις εταιρείες/επιχειρήσεις που διοργανώνουν/χρηματοδοτούν την άνω εκδήλωση κατά τη διάρκεια των τελευταίων 4 ετών

κύρια σημεία

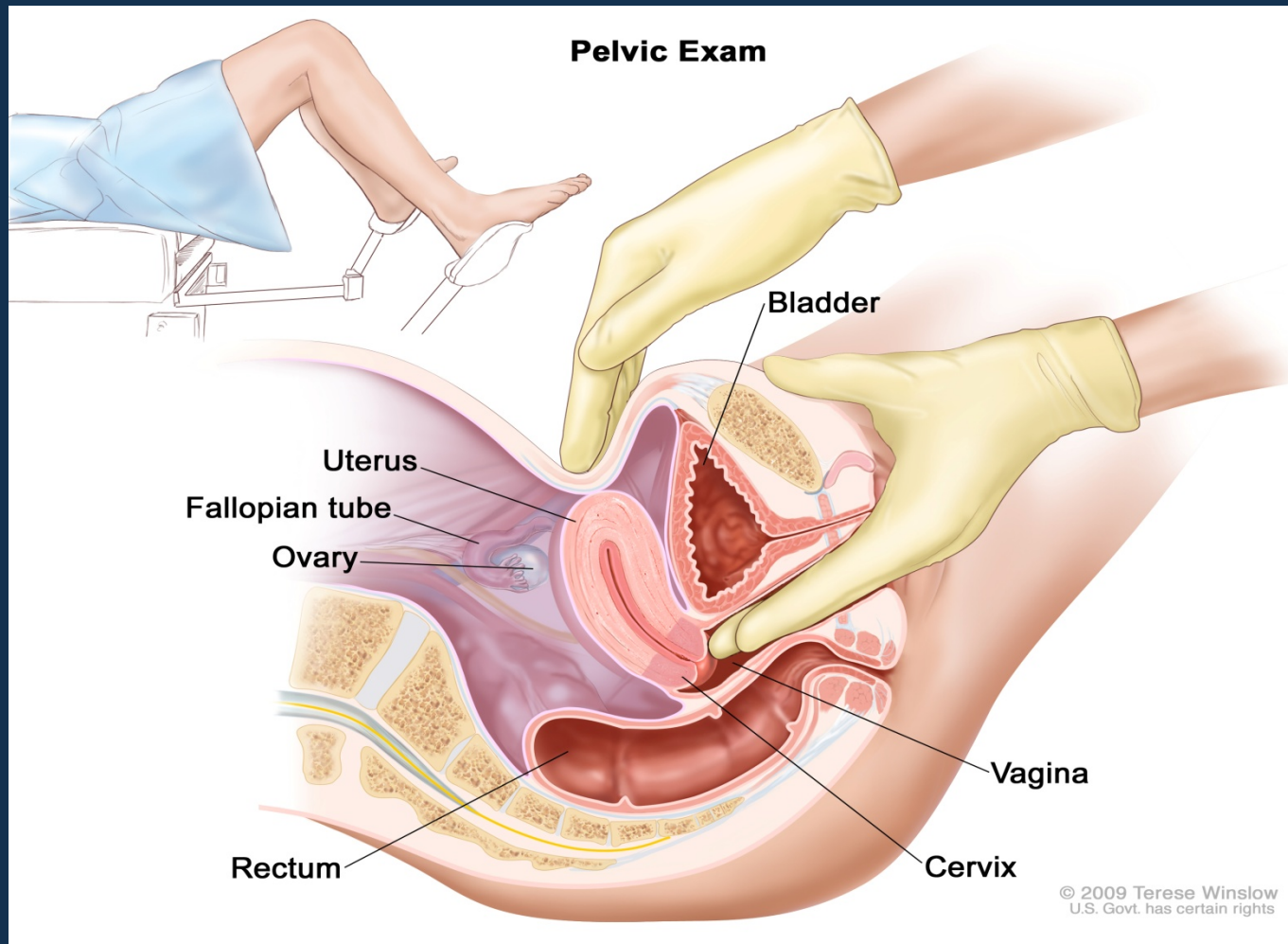
- γενικά στοιχεία & κοινά σημεία
- καρκίνος μήτρας
- καρκίνος τραχήλου
- καρκίνος κόλπου
- καρκίνος αιδοίου

επιδημιολογία

Estimated New Cancer Cases and Deaths by Sex, United States, 2014*

	ESTIMATED NEW CASES		ESTIMATED DEATHS	
All sites	810,320		275,710	
Genital system	94,990	11.7%	28,790	10.4%
Uterine cervix	12,360		4,020	
Uterine corpus	52,630		8,590	
Ovary	21,980		14,270	
Vulva	4,850		1,030	
Vagina & other genital, female	3,170		880	

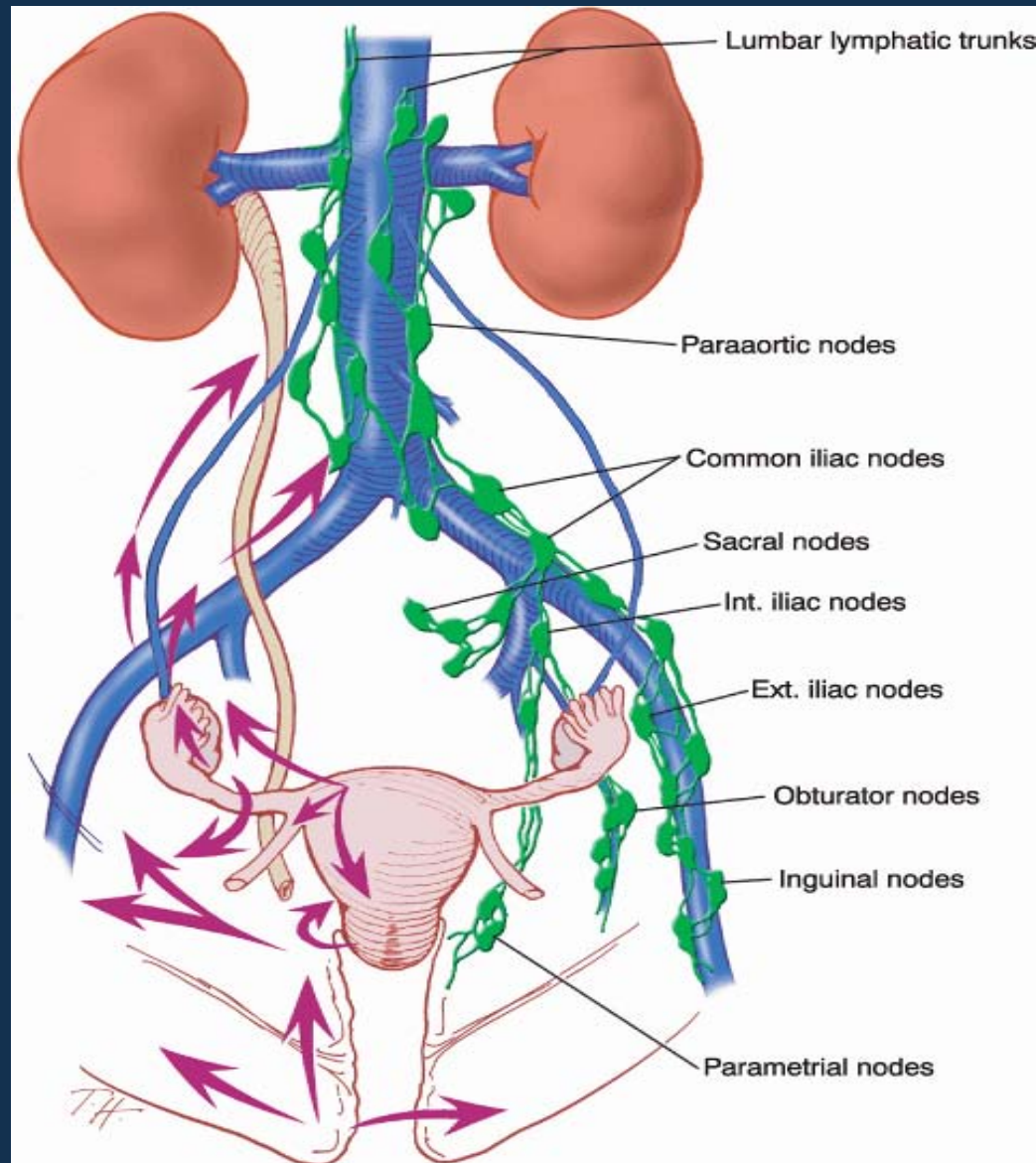
γενικά στοιχεία - κλινική εξέταση



γενικά στοιχεία – κλινική εξέταση

- εξέταση υπό αναισθησία
- χαρακτηριστικά του όγκου
- τραχηλικό στόμιο
- κοιλικοί θόλοι
- κοιλική επέκταση
- θέση & μέγεθος μήτρας
- παραμήτρια

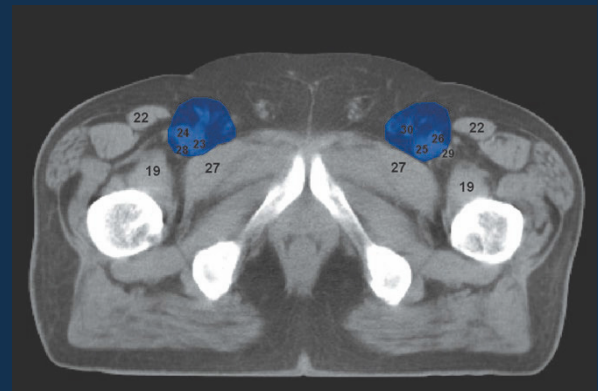
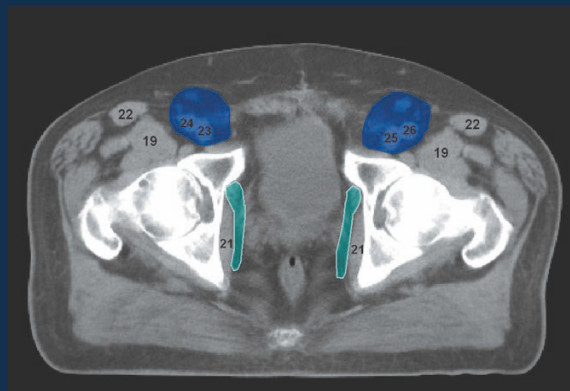
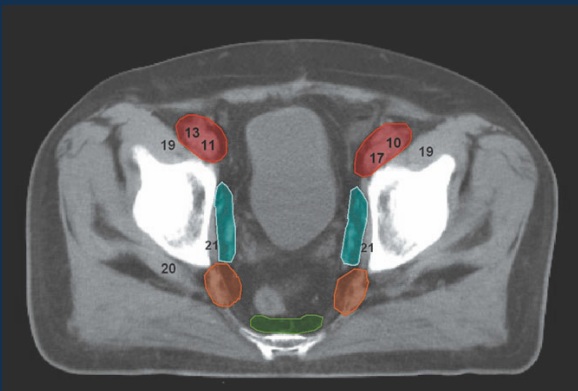
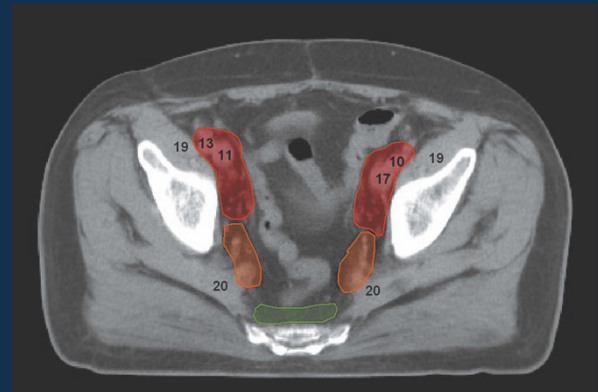
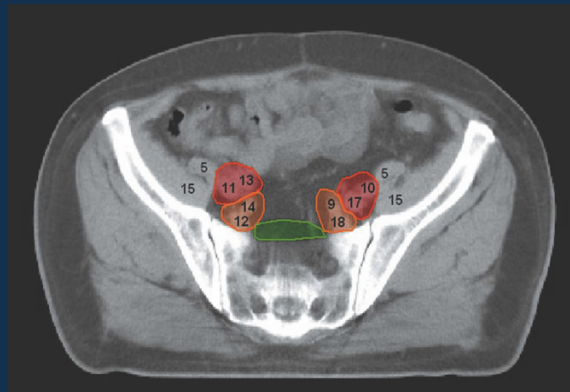
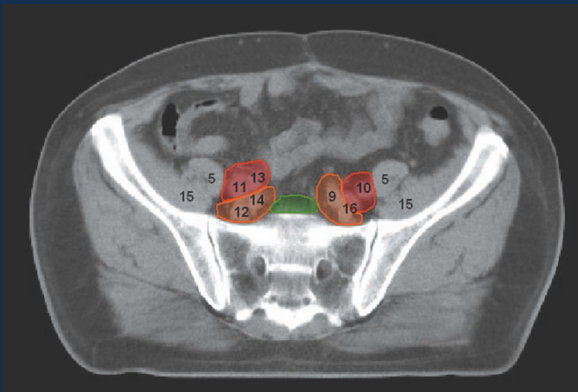
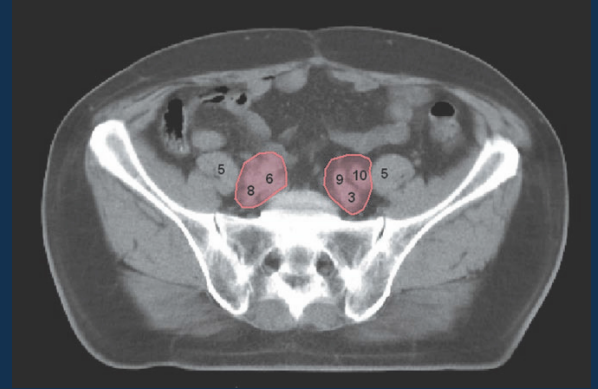
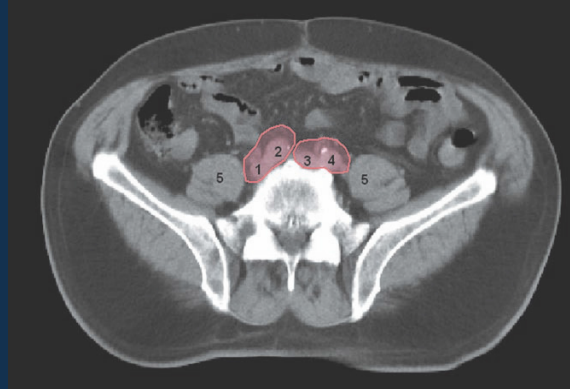
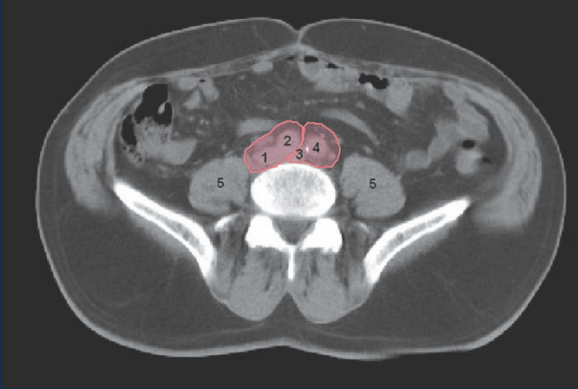
γενικά στοιχεία – λεμφαδενική παροχέτευση



γενικά στοιχεία – λεμφαδενική παροχέτευση

Lymph nodes	Anatomical boundaries					
	Cranial	Caudal	Medial	Lateral	Anterior	Posterior
Common iliac nodes	Bifurcation of abdominal aorta (at the inferior border of L4)	Bifurcation of the common iliac vessels (at the inferior border of L5, at the level of the superior border of the ala of sacrum)	Loose cellular tissue	Psoas muscle	Loose cellular tissue anterior to the common iliac vessels	Body of L5
Internal iliac nodes	Bifurcation of common iliac vessels (at the inferior border of L5)	Plane through superior border of the head of femurs at the level of the superior border of the coccyx	Loose cellular tissue	Piriformis muscle	Posterior border of the external iliac lymph nodes and loose cellular tissue	Loose cellular tissue
External iliac nodes	Bifurcation of common iliac vessels (at the inferior border of L5)	Femoral artery	Loose cellular tissue	Iliopsoas muscle	Loose cellular tissue	Anterior border of the internal iliac lymph nodes and loose cellular tissue
Obturator nodes	Plane through the acetabulum	Superior border of the neck of femurs, at the small ischiadic foramen	Loose cellular tissue	Internal obturator muscle (intrapelvic portion)	Loose cellular tissue	Loose cellular tissue
Presacral nodes	Intervertebral space of L5-S1 (sacral promontory)	Superior border of the 1st coccygeal vertebra	–	Piriformis muscle	Loose cellular tissue	Anterior aspect of sacrum
Inguinal nodes	Superior limit of the neck of femurs	Bifurcation of the femoral artery into its superficial and deep branches	Adductor muscles	For superficial inguinal nodes: the adipose and loose connective tissue and the sartorius muscle; for deep inguinal nodes: the femoral vessels	Subcutaneous adipose tissue	Pectineal muscle

γενικά στοιχεία – λεμφαδενική παροχέτευση



γενικά στοιχεία- λεμφαδενική παροχέτευση

- τράχηλος μήτρας:
 - πλαγίως έξω λαγόνιους (δια λεμφαγγείων μητριαίας αρτηρίας)
 - οπισθοπλαγίως έσω λαγόνιους
 - οπισθίως κοινούς λαγόνιους & προϊερούς
- σώμα μήτρας:
 - έσω λαγόνιους δια λεμφαγγείων πλατέως συνδέσμου
 - επικουρικά έξω λαγόνιους, παραορτικούς (δια ωοθηκικών λεμφαγγείων)
& σπανίως (κέρας μήτρας) βουβωνικούς (δια λεμφαγγείων στρογγύλου συνδέσμου)
- κόλπος:
 - άνω τμήμα έξω λαγόνιους & έσω λαγόνιους
 - μέσο έσω λαγόνιους
 - κάτω βουβωνικούς
- αιδοίο:
 - βουβωνικούς (επιπολής & εν τω βάθει) & έξω λαγόνιους